

Curseur - commande de moteur

Projet de Systèmes Logiques



Orientation : [Systèmes industriels \(SYND\)](#)

Cours : Électronique Numérique (EIN)

Auteur : [Christophe Bianchi](#), [François Corthay](#), [Silvan Zahno](#)

Date : 24 novembre 2021

Version : v2.0

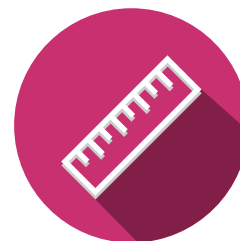
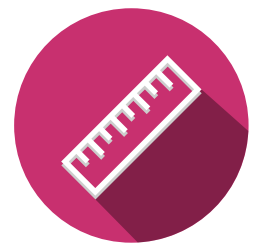


Table des matières

1	Introduction	2
2	Spécification	3
2.1	Fonctions	3
2.2	Circuit	3
2.3	Scénario (exemple)	5
2.4	Projet HDL-Designer	6
3	Composants	7
3.1	Chariot	7
3.2	Circuit de commande de moteur	7
3.2.1	Moteur à courant continu	8
3.3	Codeur (encodeur)	9
3.4	Reed-Relais	9
3.5	FPGA carte	9
3.6	Boutons et LEDs	10
4	Evaluation	11
5	Premières étapes	12
5.1	Tips	12
	Références	13
	Acronymes	13



1 Introduction

Le but du projet est d'appliquer directement les connaissances acquises à un exemple pratique en fin de semestre. Il s'agit de piloter un moteur à courant continu, pour déplacer précisément un chariot sur une vis, vers des points prédéfinis. Ce système de curseur peut être observé dans la figure 1.

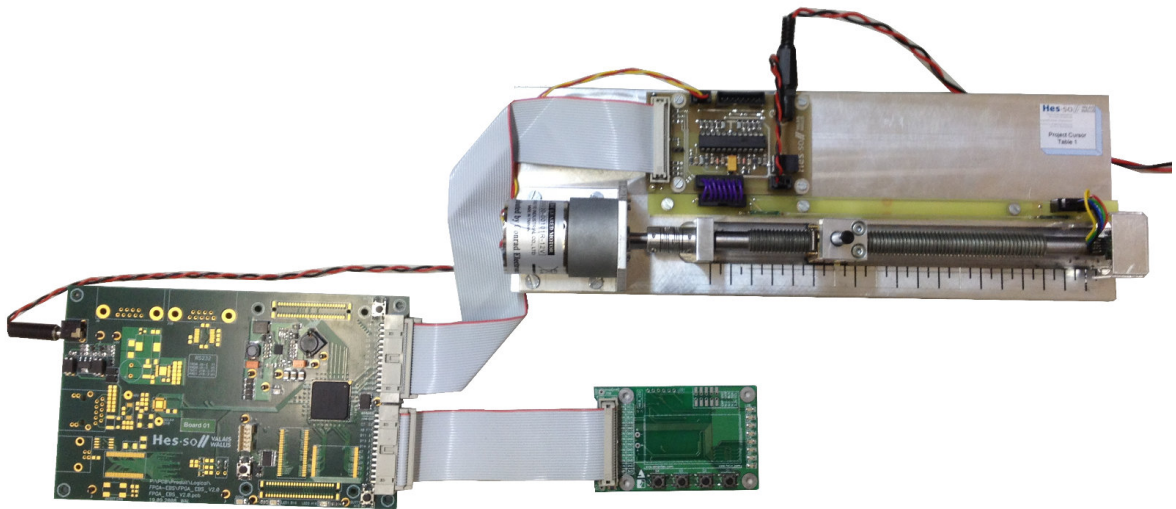
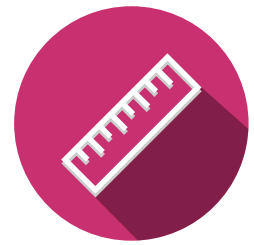


FIGURE 1 – Équipement du curseur

Le but est de réaliser la [Spécification](#) minimale définie au (chapitre 2). Les étudiants peuvent, en option, ajouter des fonctions supplémentaires. Il n'y a pas de limites aux idées, par exemple l'écran [LCD](#) peut être utilisé pour afficher certaines informations.



Les fonctions supplémentaires permettent d'obtenir quelques points supplémentaires



2 Spécification

2.1 Fonctions

Les fonctions de base sont définies comme suit :

- Lorsque la touche *restart* est appuyée, le curseur se déplace vers la position de départ indiquée par un **Reed-Relais** situé à proximité du **Moteur à courant continu**.
- Lorsque l'on appuie sur la touche *Position₁*, le curseur doit d'abord accélérer régulièrement vers la position 1 (p_1), puis avancer à pleine vitesse et enfin ralentir régulièrement pour s'arrêter à la position 1 (p_1). Cela peut se faire à partir de la position de départ ou de la position 2, voir figure 2.
- Lorsque l'on appuie sur la touche *Position₂*, le curseur doit d'abord accélérer régulièrement vers la position 2 (p_2), puis avancer à pleine vitesse et enfin ralentir régulièrement pour s'arrêter à la position 2 (p_2), voir figure 2.

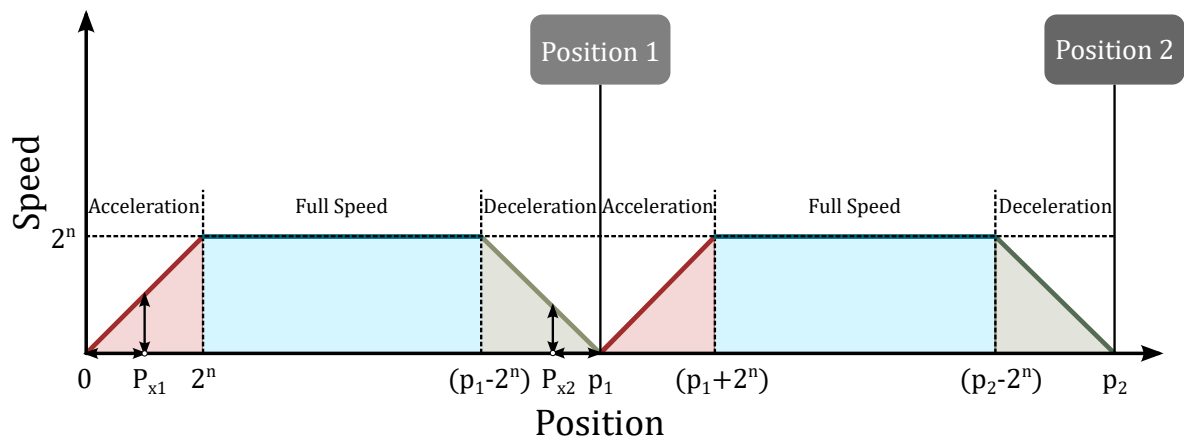


FIGURE 2 – Diagramme de la vitesse du chariot

Les rampes d'accélération et de décélération sont fonction de la position et non du temps. Il serait en effet très difficile de savoir quand il faut commencer à ralentir, pour atteindre l'une des positions, si la décélération dépendait du temps et non de la position. La pente de la rampe doit être choisie de manière à ce que les distances d'accélération et de décélération soient de l'ordre de 1cm.

Les positions à atteindre sont :

- Position 1 (p_1) = 8 cm
- Position 2 (p_2) = 12 cm

2.2 Circuit

Pour accomplir la tâche, le circuit suivant est donné pour déplacer le chariot.

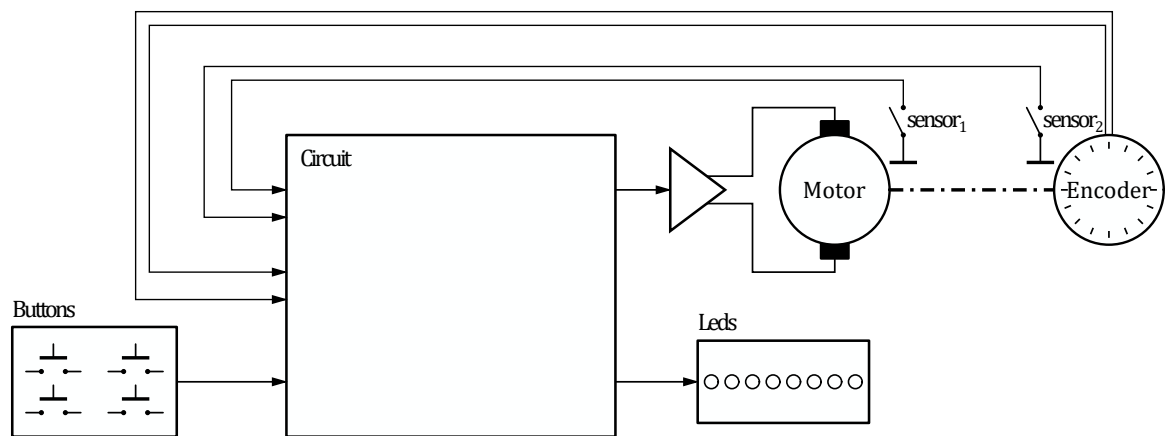


FIGURE 3 – Circuit du curseur

Le circuit fonctionne comme suit :

- Le **Moteur à courant continu** est commandé par les trois signaux $motor_{On}$, $side_1$, $side_2$. Sa vitesse est contrôlée par une modulation **PWM** appliquée aux signaux $side_1$ or $side_2$.
- Deux **Reed-Relais** sont placés aux extrémités du rail [8]. Ils détectent la présence du chariot du curseur ($sensor_1$ ainsi que $sensor_2$).
- Le **Codeur (encodeur)** est utilisé pour suivre, respectivement compter, la position du curseur. Ses trois sorties d'encodeur, $encoder_A$, $encoder_B$ et $encoder_I$, permettent de suivre les mouvements de la vis.
- Trois touches sont utilisées pour contrôler le système : $restart$, go_1 et go_2 . Une touche supplémentaire, $button_4$, peut être utilisée pour des fonctions optionnelles.
- Les broches *testOut* peuvent être utilisées pour sortir des informations supplémentaires du système, par exemple pour le débogage ou pour contrôler la **LED**.

Le toplevel vide du design (cursor-toplevel-empty.pdf) montre tous les signaux connectés à la platine **Field Programmable Gates Array (FPGA)** 4.

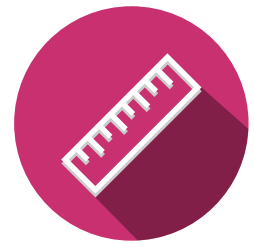


FIGURE 4 – Circuit Toplevel vide

2.3 Scénario (exemple)

Dans l'illustration 5, trois scénarios différents sont présentés. Tout d'abord, on appuie sur la touche *restart* et le chariot se déplace à pleine vitesse vers la position initiale (*sensor₁*). Les deux autres scénarios *go₂* et *go₁* déplacent le chariot vers la *position2* et la *position2* respectivement, un signal **PWM** variable est appliqué aux signaux *side₂* et *side₁* pour accélérer et ralentir le chariot.

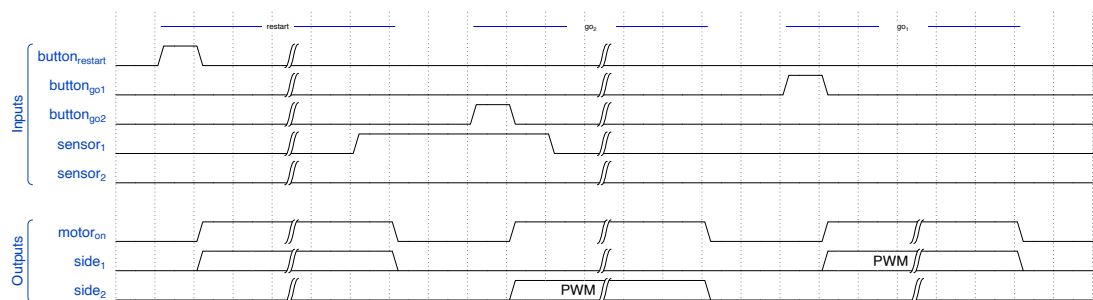
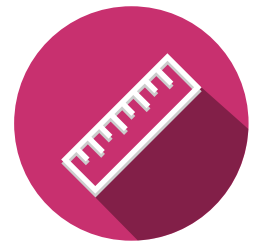


FIGURE 5 – Scenario curseur



Les scénarios ci-dessus sont des exemples, c'est aux étudiants de les compléter



2.4 Projet HDL-Designer

Un projet HDL-Designer prédéfini peut être téléchargé ou cloné dans [Cyberlearn](#). La structure de fichier du projet se présente comme suit :

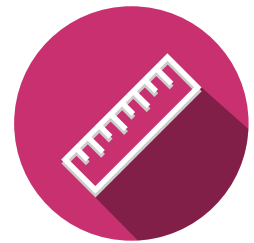
```
eIn_cursor
+--Board/          # Project and files for programming the FPGA
|  +--concat/      # Complete VHDL file including PIN-UCF file
|  +--ise/         # Xilinx ISE project
+--Cursor/         # Library for the components of the student solution
+--Cursor_test/    # Library for the simulation testbenches
+--doc/            # Folder with additional documents relevant to the project
|  +--Board/       # All schematics of the hardware boards
|  +--Components/  # All data sheets of hardware components
+--img/            # Pictures
+--Libs/           # External libraries which can be used e.g. gates, io, sequential
+--Prefs/          # HDL-Designer settings
+--Scripts/        # HDL-Designer scripts
+--Simulation/     # Modelsim simulation files
```



Le chemin d'accès au dossier du projet ne doit pas contenir d'espaces



Dans le dossier de projet *doc/*, on peut trouver de nombreuses informations importantes : fiches techniques, évaluation de projet et documents d'aide pour HDL-Designer, pour n'en citer que quelques-unes



3 Composants

Le système se compose de 3 platines matérielles différentes, visibles dans la figure 1.

- Un Assemblage de chariot avec une carte électronique “**Printed circuit board (PCB)**” qui commande le moteur et lit les capteurs, voir figure 6
- Une carte de développement **FPGA**, voir figure 13
- Une carte de contrôle à 4 boutons et 8 **LEDs**, voir figure 14

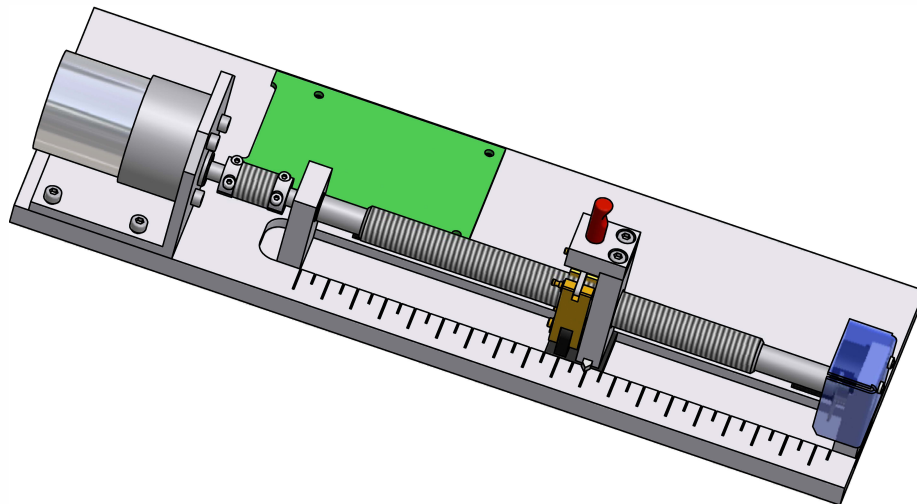


FIGURE 6 – Assemblage de chariot du curseur

3.1 Chariot

La structure du chariot comprend le moteur à courant continu, les deux **Reed-Relais** ainsi que le chariot et la vis. Le filetage de la vis a une taille de M12x1.75, ce qui signifie qu’une distance de 1.75mm est parcourue par tour, voir figure 7.

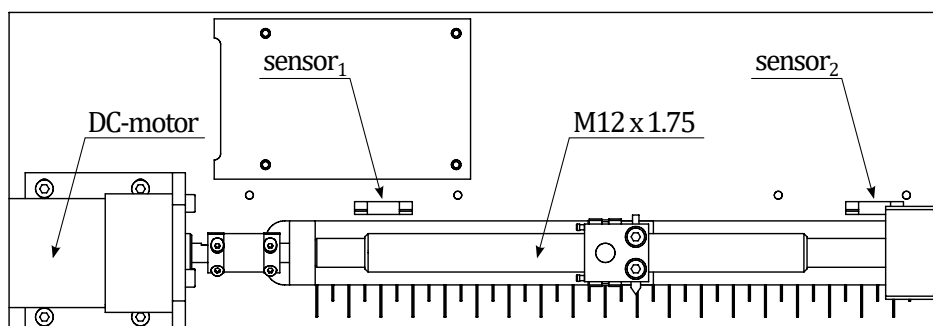
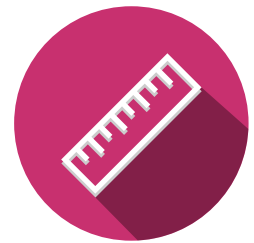


FIGURE 7 – Assemblage de chariot du curseur : détaillé

3.2 Circuit de commande de moteur

Le moteur à courant continu du chariot est alimenté en 12V. La carte d’alimentation possède un pont en H qui est commandé par des signaux numériques. Sur la platine d’alimentation, un régulateur 5V génère la tension alimentant la platine **FPGA** [7].



3.2.1 Moteur à courant continu

Le moteur à courant continu est commandé par un driver de pont en H L6207 [14], voir figure 8. La fréquence de commutation maximale du pont en H est de 100kHz . Ceci doit être pris en compte lors de la création du signal **Pulse Width Modulation (PWM)**.

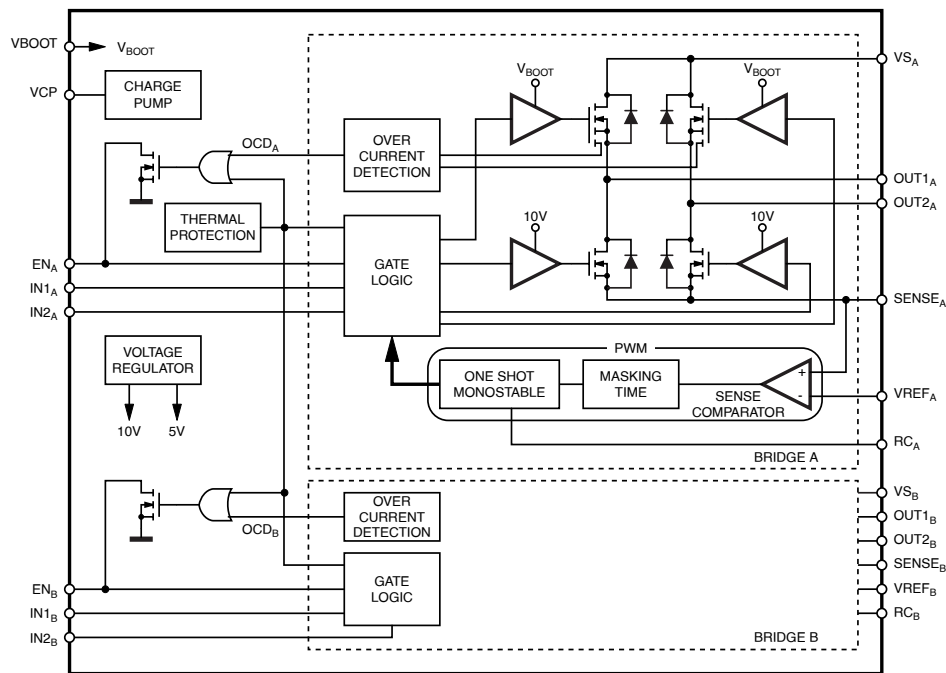


FIGURE 8 – Schéma bloc du circuit du pont-H L6207N circuit [14]

Pour ajuster la vitesse du moteur à courant continu, un signal **PWM** doit être appliqué aux signaux $side_1$ ou $side_2$, la fréquence maximale étant de 100kHz . Plus la tension est appliquée longtemps au moteur, plus il tourne vite. Dans la figure 9, le moteur tourne plus lentement avec le **signal vert** qu'avec le **signal bleu** et qu'avec le **signal rouge**.

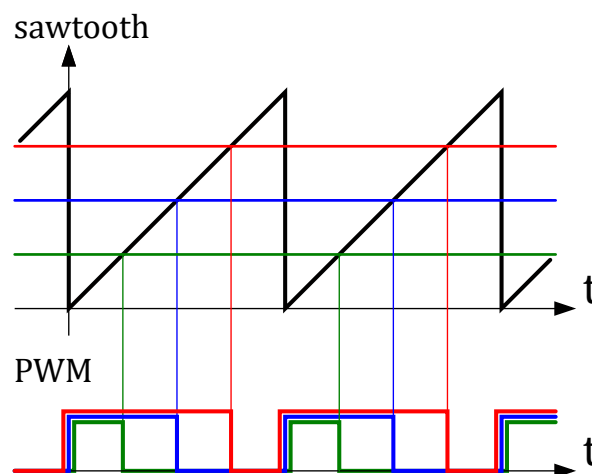
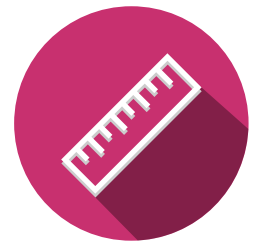


FIGURE 9 – Signaux **PWM**



3.3 Codeur (encodeur)

L'angle de la vis peut être mesuré à l'aide d'un **codeur incrémental**. Le modèle utilisé dans l'assemblage est un AEDB-9140-A12 [1] (figure 11) avec 500 **Counts per Revolution (CPR)** (comptages par tour) par canal, représenté dans la figure 10.

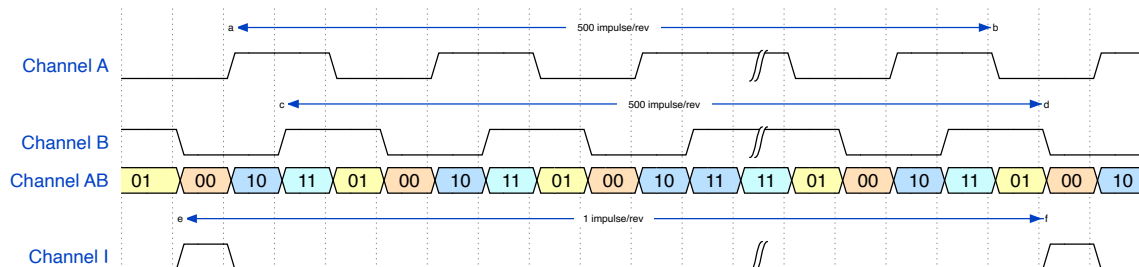


FIGURE 10 – Signaux de codeurs incrémentaux

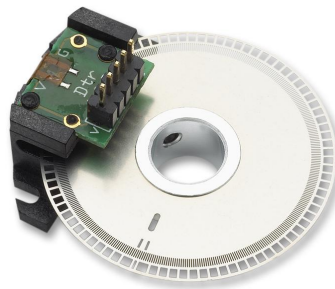


FIGURE 11 – Encodeur AEDB-9140-A12 [1]

3.4 Reed-Relais

Le reed-relais est un interrupteur qui peut être commuté à l'aide d'électro-aimants [8]. Lorsqu'un aimant se trouve à proximité du capteur, le contact se ferme, voir figure 12. Sur le module, 2 reed relais sont utilisés ($sensor_1$ et $sensor_2$) pour identifier les limites gauche et droite du chariot.

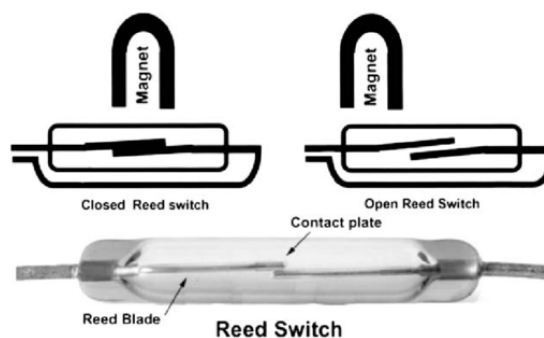
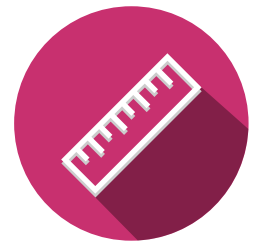


FIGURE 12 – Reed relais [6]

3.5 FPGA carte

La carte principale est la carte de développement de laboratoire FPGA-EBS 2 de l'école [10]. Elle héberge une puce **Xilinx Spartan xc3s500e FPGA** [13] [15] et dispose de nombreuses interfaces



différentes (**U**niversal **A**synchronous **R**eceiver **T**ransmitter (UART), **U**niversal **S**erial **B**us (USB), Ethernet, etc.). L'oscillateur utilisé produit un signal d'horloge (*clock*) avec une fréquence de $f_{clk} = 66\text{MHz}$ [3].

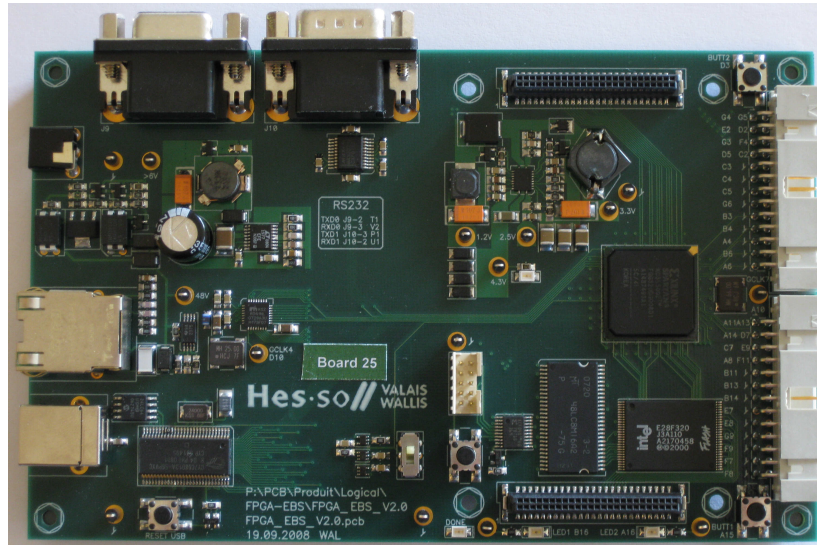


FIGURE 13 – Carte électronique FPGA [10]

3.6 Boutons et LEDs

La platine avec les boutons et les LEDs [11] est connectée à la platine FPGA. Elle a 4 boutons et 8 LEDs qui peuvent être utilisés dans le design. Si on le souhaite, cette platine peut être équipée d'un affichage LCD [12] [4]. .

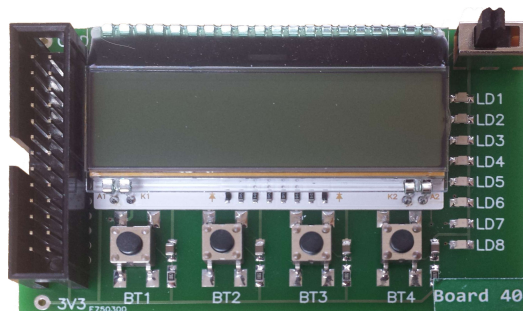
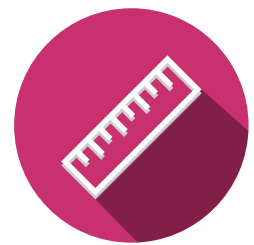


FIGURE 14 – Carte électronique boutons-LED-LCD [11]



4 Evaluation

Dans le dossier *doc/*, le fichier *evaluation-bewertung-cursor.pdf* montre le schéma d'évaluation détaillé, tableau 1.

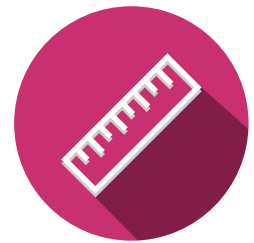
La note finale contient le rapport, le code ainsi qu'une présentation de votre système.

Aspects évalués	points
Rapport	55
Introduction	3
Spécification	5
Projet	20
Vérification et validation	10
Intégration	9
Conclusion	3
Aspects formels du rapport	5
Fonctionnalité du circuit	30
Qualité de la solution	10
Présentation	10
Total	105

TABLE 1 – Grille d'évaluation



La grille d'évaluation donne des indications sur la structure du rapport. Pour un bon rapport, consultez le document "Comment rédiger un rapport de projet" [2]



5 Premières étapes

Pour commencer le projet, on peut procéder de la manière suivante :

- Lisez attentivement les spécifications et les informations ci-dessus.
- Examinez le matériel et testez le programme préprogrammé.
- Parcourez les documents dans le dossier *doc/* de votre projet.
- Développez un schéma fonctionnel détaillé. Vous devriez pouvoir expliquer les signaux et leurs fonctions.
- Implémenter et simuler les différents blocs.
- Testez la solution sur le circuit imprimé et trouvez les éventuelles erreurs 🐛.

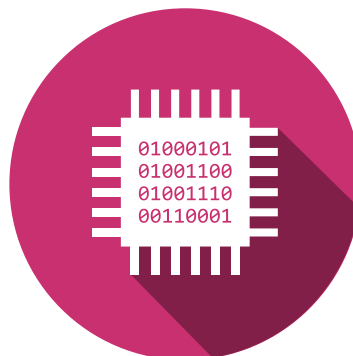
5.1 Tips

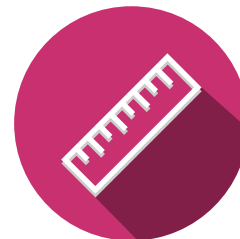
Ci-joint quelques conseils supplémentaires pour éviter les problèmes et les pertes de temps :

- Divisez le problème en différents blocs, utilisez pour cela le document Toplevel vide (`cursor-toplevel-empty.pdf`). Il est recommandé d'avoir un mélange équilibré entre le nombre de composants et la taille/complexité des composants.
- Analyser les différents signaux d'entrée et de sortie, pour cela il est conseillé d'utiliser en partie les fiches techniques.
- Respecter le chapitre EIN "Méthodologie de conception de circuits numériques (MET)" lors de la création du système. [5].
- Il est recommandé de réaliser le système en deux étapes.
 - D'abord un système qui réagit aux boutons et qui amène le chariot à la position correspondante (toujours à la vitesse maximale).
 - Intégrer les phases d'accélération dans le système existant.



N'oubliez pas de vous amuser 😊.





Références

- [1] AGILENT TECHNOLOGIES. *Datasheet Agilent AEDB-9140 Series Three Channel Optical Incremental Encoder Modules with Codewheel, 100 CPR to 500 CPR*. 2005.
- [2] CHRISTOPHE BIANCHI, FRANÇOIS CORTHAY et SILVAN ZAHNO. *Comment Rédiger Un Rapport de Projet ?* 2021.
- [3] CTS. *Datasheet CTS Model CB3 & CB3LV HCMOS/TTL Clock Oscillator*. 2006.
- [4] ELECTRONIC ASSEMBLY. *Datasheet : DOGM Graphics Series 132x32 Dots*. 2005.
- [5] FRANÇOIS CORTHAY, SILVAN ZAHNO et CHRISTOPHE BIANCHI. *Méthodologie de Conception de Cicuits Numériques*. 2021.
- [6] *Magnetic-Reed-Switch-Above-Closed-and-Open-Reed-Switch-in-Response-to-Magnet-Placement.Png (850x345)*. URL : <https://www.researchgate.net/profile/Sidakpal-Panaich-2/publication/51169357/figure/fig1/AS:394204346896388@1470997048549/Magnetic-reed-switch-Above-Closed-and-open-reed-switch-in-response-to-magnet-placement.png> (visité le 24/11/2021).
- [7] OLIVIER WALPEN. *Schematic : Cursor Chariot Power Circuit*. 2009.
- [8] *Reed Relay*. In : *Wikipedia*. 5 déc. 2020. URL : https://en.wikipedia.org/w/index.php?title=Reed_relay&oldid=992433034 (visité le 24/11/2021).
- [9] *Rotary Encoder*. In : *Wikipedia*. 23 août 2021. URL : https://en.wikipedia.org/w/index.php?title=Rotary_encoder&oldid=1040238329 (visité le 20/11/2021).
- [10] SILVAN ZAHNO. *Schematic : FPGA-EBS v2.2*. 2014.
- [11] SILVAN ZAHNO. *Schematic : Parallelport HEB LCD V2*. 2014.
- [12] SITRONIX. *Datasheet Sitronix ST7565R 65x1232 Dot Matrix LCD Controller/Driver*. 2006.
- [13] *Spartan-3 FPGA Family*. Xilinx. URL : <https://www.xilinx.com/products/silicon-devices/fpga/spartan-3.html> (visité le 20/11/2021).
- [14] STMICROELECTRONICS. *Datasheet : DMOS Dual Full Bridge Driver with PWM Current Controller*. 2003.
- [15] XILINX. *Datasheet Spartan-3E FPGA Family*. 2008.

Acronymes

CPR Counts per Revolution. 9

FPGA Field Programmable Gates Array. 1, 4, 7, 9, 10

LCD Liquid Crystal Display. 2, 10

LED Light Emitting Diode. 1, 4, 7, 10

PCB Printed circuit board. 7

PWM Pulse Width Modulation. 4, 5, 8

UART Universal Asynchronous Receiver Transmitter. 10

USB Universal Serial Bus. 10